

## ЛИТЕРАТУРА

1. Л. А. Гуссак.— В кн.: Горение и взрыв. М.: Наука, 1972.
2. В. П. Карпов, Е. С. Северин. Докл. АН СССР, 1978, 239, 1, 123.
3. С. Вуйтицки, Т. Лежански, Р. Сарагих и др. Archivum combustionis, 1982, 2, 3/4, 149.
4. Г. Ламб. Гидродинамика. М.— Л.: Гостехиздат, 1947.
5. Л. Д. Ландау, Е. М. Левшиц. Механика сплошных сред. М.: Гостехиздат, 1953.

УДК 546

## ОСОБЕННОСТИ ГОРЕНИЯ СИСТЕМЫ Ti—C—B

B. A. Щербаков, A. N. Питюлин

(Черноголовка)

К настоящему времени наиболее подробно изучены СВС-процессы в простых системах, содержащих два компонента. Существенно меньшее внимание уделялось рассмотрению закономерностей горения систем, состоящих из трех и более компонентов.

Данная работа посвящена изучению особенностей горения в системе Ti—C—B. Это вызвано как научным интересом в плане развития представлений о механизме взаимодействия в многокомпонентных системах, так и практическим, так как продукты горения ( $TiC$  и  $TiB_2$ ) являются перспективными материалами для получения безвольфрамовых твердых сплавов [1].

**Методика эксперимента.** Исследование горения системы Ti—C—B проводили в бомбе постоянного давления ( $p = 10$  атм) в атмосфере аргона по известной методике [2]. Исходные составы рассчитывали на образование конечных продуктов  $TiC$  и  $TiB_2$  с различными соотношениями этих фаз. Основные характеристики материалов, из которых готовили реакционную смесь, приведены в таблице. Здесь же указан диаметр частиц  $d$ .

Изменение температуры горения осуществляли введением в исходную шихту конечного продукта. Объектом исследований были цилиндрические прессованные образцы диаметром 10 и высотой 30 мм с постоянной относительной плотностью образцов, равной 0,6. При горении регистрировали среднюю скорость и максимальную температуру горения. Для этого в образец па некотором расстоянии друг от друга заделывались спаи двух микротермопар марки ВР 5/20 диаметром 200 мкм. Сигналы с термопар записывались через усилитель шлейфовым осциллографом Н-115. Продукты горения исследовали методами химического и рентгенофазового анализов.

**Результаты экспериментов.** При горении системы Ti—C—B максимальная температура горения остается неизменной для большинства исходных составов. Она составляет  $2500^{\circ}\text{C}$  и не изменяется при разбавлении исходной шихты конечным продуктом до 20% (рис. 1). В соответствии с диаграммой состояния системы  $TiC - TiB_2$  [3] температура горения совпадает с температурой плавления сплава эвтектического со-

Материал	Марка	$r$ , %	$d$ , мкм
Титан	ПТМ	98,9	50
Сажа	ПМ-15ТС	99,0	1
Бор	аморфный	93,0	~1
Графит	ГМЗ	97,0	~200
Бор	кристаллический	98,0	~200

П р и м е ч а н и е.  $r$  — массовое содержание основного компонента.

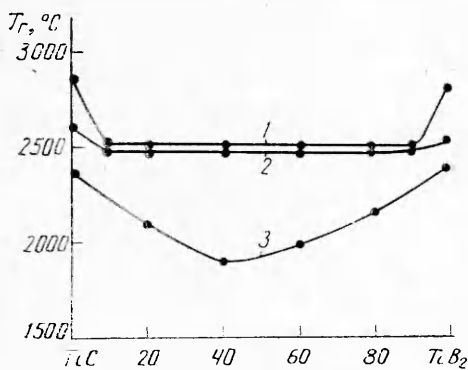


Рис. 1. Зависимость температуры горения от состава конечных продуктов при содержании в исходной шихте инертного разбавителя, %:  
1 — 0, 2 — 20, 3 — 30.

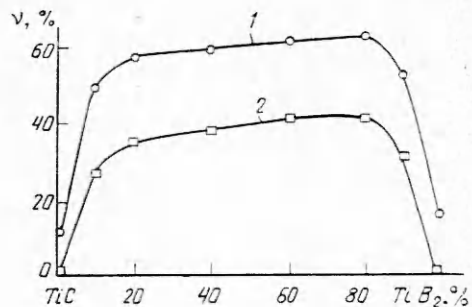


Рис. 2. Зависимость доли жидкой фазы при температуре горения от состава конечных продуктов.  
1 — в адиабатических условиях (расчетное значение); 2 — в условиях эксперимента.

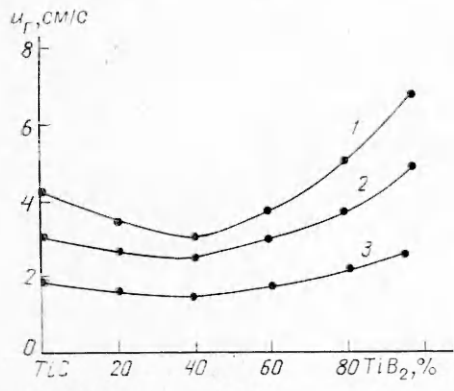


Рис. 3. Зависимость скорости горения от состава конечных продуктов при содержании в исходной шихте инертного разбавителя, %:  
1 — 0, 2 — 20, 3 — 30.

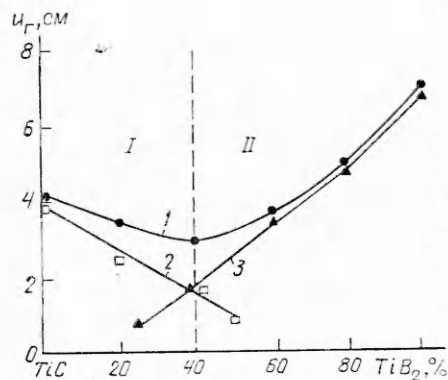


Рис. 4. Зависимость скорости горения систем от состава конечных продуктов.

става. Таким образом, температуру горения стабилизирует процесс образования жидкой фазы эвтектического состава. Исходя из условия исчезновения жидкой фазы в конечном продукте, можно рассчитать ее количество по формуле

$$v = \frac{\mu}{L} \int_{T_0}^{T_{\text{пл}}} c(T) dT, \quad (1)$$

где  $v$  — доля жидкой фазы в конечном продукте;  $\mu$  — доля разбавителя, при котором температура горения ( $T_r$ ) начинает понижаться;  $L$  — теплота плавления конечного продукта;  $c(T)$  — теплоемкость конечного продукта;  $T_0$  — начальная температура;  $T_{\text{пл}}$  — температура плавления сплава эвтектического состава. На рис. 2 приведены зависимости доли жидкой фазы при температуре горения от состава конечных продуктов. Кривая 1 получена на основе расчета по методике [4], кривая 2 — результат обработки экспериментальных данных по формуле (1). Видно, что при горении систем  $Ti + C$  и  $Ti + B$  жидкая фаза в продуктах горения отсутствует. С увеличением в продуктах  $TiB_2$  от 20 до 80% количество жидкой фазы изменяется незначительно, что связано с действием двух противоположных факторов. С одной стороны, увеличивается тепловыделение в системе  $Ti - C - B$ , так как реакция образования

$\text{TiB}_2$  более экзотермична, с другой — образующийся  $\text{TiB}_2$  обладает большей теплоемкостью, чем  $\text{TiC}$  [5]. При малых количествах  $\text{TiB}_2$  или  $\text{TiC}$  (до 20%) в продуктах горения наблюдается резкое уменьшение жидкой фазы. Это обусловлено недостатком одного из продуктов для образования сплава эвтектического состава.

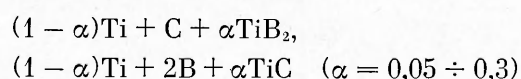
В отличие от температуры скорость горения существенно зависит от состава исходной шихты (рис. 3). Эта зависимость имеет ярко выраженный минимум. Разбавление шихты конечным продуктом приводит к снижению скорости горения, но положение минимума не меняется.

Ход кривых можно объяснить особенностями горения системы  $\text{Ti} - \text{C} - \text{B}$ . В этой системе возможно протекание двух экзотермичных реакций — образование  $\text{TiC}$  и  $\text{TiB}_2$ . Для исследования закономерностей протекания этих реакций проведены опыты, когда в исходной шихте сажа (С) или бор аморфный (В) заменялись соответственно на графит ( $\text{C}_{\text{rp}}$ ) и бор кристаллический ( $\text{B}_{\text{kp}}$ ). Как известно [6], эти материалы обладают низкой реакционной способностью, следовательно, можно считать, что скорости горения систем  $\text{Ti} - \text{C} - \text{B}_{\text{kp}}$  и  $\text{Ti} - \text{C}_{\text{rp}} - \text{B}$  будут определяться тепловыделением в первом случае реакции  $\text{Ti} + \text{C}$ , во втором —  $\text{Ti} + 2\text{B}$ .

На рис. 4 представлены зависимости скоростей горения систем: 1 —  $\text{Ti} - \text{C} - \text{B}$ , 2 —  $\text{Ti} - \text{C} - \text{B}_{\text{kp}}$ , 3 —  $\text{Ti} - \text{C}_{\text{rp}} - \text{B}$  от состава конечного продукта. В области I наблюдается значительное отличие скоростей горения систем  $\text{Ti} - \text{C} - \text{B}$  и  $\text{Ti} - \text{C} - \text{B}_{\text{kp}}$ . Этот факт свидетельствует о том, что в случае использования В движение фронта горения обеспечивается суммарным тепловыделением при протекании реакции образования  $\text{TiC}$  и  $\text{TiB}_2$ . Исключив одну из реакций введением  $\text{B}_{\text{kp}}$ , тепловыделение в системе уменьшается, в результате чего наблюдается понижение скорости горения.

В области II (см. рис. 4) замена сажи на графит не привела к заметному различию в скоростях горения систем  $\text{Ti} - \text{C} - \text{B}$  и  $\text{Ti} - \text{C}_{\text{rp}} - \text{B}$ . Это означает, что скорость распространения волны горения обусловлена только тепловыделением реакции  $\text{Ti} + 2\text{B}$ . В этом случае реакция  $\text{Ti} + \text{C}$  протекает в стадии догорания, поэтому исходные компоненты этой реакции являются инертными при взаимодействии  $\text{Ti}$  и  $\text{B}$ .

Обнаруженная стадийность образования конечного продукта в области II не является следствием последовательного протекания реакций. Это подтверждается результатами следующего эксперимента. Рассматривали возможность образования  $\text{TiC}$  или  $\text{TiB}_2$  в условиях, когда один из них является промежуточным продуктом для образования другого. В результате протекания реакций



оказалось, что при  $T_g$   $\text{TiB}_2$  устойчив в присутствии свободного С, а свободный В взаимодействует с  $\text{TiC}$  с образованием  $\text{TiB}_2$  и свободного С. Полученные данные указывают на возможность стадийного образования  $\text{TiB}_2$  через промежуточный продукт  $\text{TiC}$ . В этом случае скорость горения определялась бы тепловыделением реакции  $\text{Ti} + \text{C}$ , однако выше было показано, что скорость горения в области I зависит от тепловыделения обеих реакций.

Разделение реакций в пространстве при горении составов в области II, по-видимому, связано с высокой скоростью взаимодействия  $\text{Ti}$  и  $\text{B}$ . В пользу этого свидетельствуют данные химического анализа продуктов горения состава, приготовленного так, чтобы  $\text{Ti}$  хватило на образование  $\text{TiB}_2$  или  $\text{TiC}$ . Оказалось, что независимо от степени разбавления в продуктах горения содержится  $\text{TiB}_2$  (~75),  $\text{TiC}$  (~15%), остальное — свободные В и С.

Авторы благодарят А. С. Штейнберга за обсуждение работы и ценные советы.

## ЛИТЕРАТУРА

1. А. Г. Акопян, С. К. Долуханян, И. П. Боровинская. ФГВ, 1978, 14, 3, 70.
2. Н. Н. Бахман, А. Ф. Беляев. Горение гетерогенных конденсированных систем. М.: Наука, 1967.
3. С. С. Орданьян, В. Н. Унрод, А. И. Августеник. Порошковая металлургия, 1975, 9, 40.
4. Н. П. Новиков, И. П. Боровинская, А. Г. Мержанов.— В кн.: Процессы горения в химической технологии и металлургии. Черноголовка, 1975.
5. У. Д. Верягин, В. П. Маширев, Н. Г. Рябцев и др. Термодинамические свойства неорганических веществ. М.: Атомиздат, 1965.
6. П. Ф. Похил, А. Ф. Беляев, Ю. В. Фролов и др. Горение порошкообразных металлов в активных средах. М.: Наука, 1972.

УДК 546

## ВЗАИМОДЕЙСТВИЕ УГЛЕРОДА С КИСЛОРОДОМ ПРИ СИНТЕЗЕ КАРБИДА ТИТАНА

*B. M. Маслов, C. C. Мамян, C. I. Воюев*  
(Черноголовка)

Известно, что свойства материалов зачастую определяются их чистотой, наличием в них определенных примесей. К примеру, нежелательными примесями в карбиде титана являются свободный углерод и кислород. Как показывает практика, при синтезе карбида титана методом СВС содержание этих примесей в продукте зависит от условий проведения СВС-процесса.

В данной работе исследовалось взаимодействие углерода с примесным кислородом при горении смесей титана с сажей и влияние этого взаимодействия на изменение концентрации кислорода и свободного углерода в карбиде титана. По методике [1] проведен термодинамический анализ реакции. В расчете менялись следующие параметры:

- 1) концентрация кислорода в исходной шихте, при этом предполагалось, что кислород находится в виде окисной пленки ( $TiO_2$ ) на частицах титана;
- 2) концентрация углерода в исходной шихте;
- 3) давление газа при проведении процесса;
- 4) температура процесса.

Таблица 1

Равновесный состав продуктов горения в зависимости от концентрации  $TiO_2$  в шихте и давления процесса. Реакция  $Ti + C + x(TiO_2) \rightarrow$  продукты сгорания

p, атм	$TiO_2$ , %	$T_g$ , K	Продукты сгорания, %							
			TiC	TiO	$Ti_2O_3$	Ti	CO(g)	TiO(g)	Ti(g)	CO <sub>2</sub> (g)
0,01	10	2529	84,9	9,98	—	—	2,27	0,84	1,9	—
	8	2542	87,2	6,86	—	—	2,15	1,03	2,77	—
	5	2546	89,6	1,27	—	2,23	2,42	1,19	3,28	—
	4	2561	90,8	—	—	1,94	2,31	1,12	3,8	—
	0,5	3228	98,1	—	—	—	0,35	—	1,43	0,04
1,0	10	2837	86,1	12,0	—	—	1,7	0,05	0,03	—
	5	3096	92,8	5,7	—	—	1,37	0,4	0,4	—
	2	3143	95,5	0,5	—	2,1	1,1	0,47	0,63	—
	1	3235	97,4	—	—	0,97	0,63	0,16	0,83	—
	0,5	3290	98,6	—	—	0,12	0,31	0,08	0,09	—
10,0	10	3022	88,4	0,21	10,7	—	0,64	—	—	—
	8	3044	89,8	4,6	4,6	—	0,9	0,01	—	—
	5	3147	93,0	6,12	—	—	0,81	0,02	0,01	—
	2	3290	97,1	2,5	—	—	0,29	0,02	0,04	—
	0,5	3290	99,0	0,6	—	0,21	0,09	0,02	0,05	—